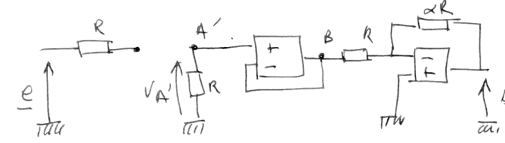


10) à BF les condensateurs ont des impédances qui deviennent très prépondérantes devant celles des autres composants du montage. On caractérise souvent en passant à la limite $Z_c(0) \rightarrow \infty$ en disant qu'un condensateur se comporte comme un interrupteur ouvert aux BF.

De la manière, on simplifiera en HF en remplaçant les condensateurs par de simples fils : interrupteur fermé aux HF.

(Il faut avoir à l'esprit que BF et HF ne veulent rien dire dans l'absolu)

Circuit équivalent aux BF :



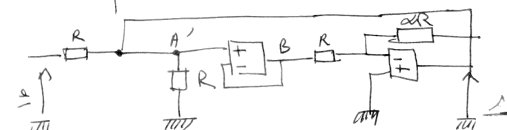
Le courant traversant la résistance R (reliant A' à la masse) est infiniment petit et donc le potentiel $V_{A'} \rightarrow 0$. Comme le second montage a un gain (après le suivant) est un amplificateur inversion de gain $-\alpha$ on en déduit (s'il peut fonctionner en régime linéaire) que $\underline{V_B} = -\frac{\underline{s}}{2}$

$$\text{Ainsi } \underline{s} = -\alpha \underline{V_B} = -\alpha V_{A'} \rightarrow 0$$

Alors que l'entrée peut présenter n'importe quelle valeur finie $\neq 0$ (à écrire obligatoirement pour conclure sur $|H| \neq 0$!)

Ainsi le filtre ne laisse pas passer les basses fréquences.

Circuit équivalent aux HF :



$$\text{On a toujours : } V_{A'} = V_B = -\frac{\underline{s}}{2}$$

$$\text{et par le fil (du haut) : } V_{A'} = \underline{s}$$

$$\text{alors } -\frac{\underline{s}}{2} = \underline{s} \text{ avec } \alpha \text{ nul positif.}$$

$$\Rightarrow \underline{s} = 0$$

(alors que e peut être $\neq 0$)

donc $|H| \rightarrow 0$ quand $\omega \rightarrow \infty$

Ainsi le filtre ne laisse pas passer les HF non plus.

Il s'agit sans doute d'un filtre passe-bande.

2°) Calcul de la fonction de transfert.

$$\underline{V_A}' = \underline{V_B} = -\frac{s}{2} \quad (\text{AO idéaux en RL})$$

Divisem de tension entre A, A' et la masse :

$$\underline{V_{A'}} = \frac{R}{R + \frac{1}{j\omega}} \underline{V_A} = \frac{jRC\omega}{1 + jRC\omega} \underline{V_A}$$

Millman en A : $\underline{V_A} = \frac{\frac{s}{R} + \frac{1}{j\omega} s}{\frac{1}{R} + j\omega + \frac{1}{R + \frac{1}{j\omega}}} \quad (\text{trans brancher})$

donc : $-\frac{R + \frac{1}{j\omega}}{R} \frac{s}{2} = \frac{\frac{s}{R} + \frac{1}{j\omega} s}{\frac{1}{R} + j\omega + \frac{1}{R + \frac{1}{j\omega}}}.$

$$\frac{-1 - jRC\omega}{jRC\omega} \times \frac{s}{2} = \frac{\frac{s}{R} + jRC\omega \frac{s}{2}}{1 + jRC\omega + \frac{Rj\omega}{Rj\omega + 1}}$$

$$-(1 + jRC\omega) \frac{s}{2} \times \left(1 + jRC\omega + \frac{Rj\omega}{1 + Rj\omega}\right) = s e^{jRC\omega} - s R^2 C^2 \omega^2$$

$$- \frac{s}{2} (Rj\omega + 1 + 2jRC\omega - R^2 C^2 \omega^2 - s R^2 C^2 \omega^2) = s e^{jRC\omega}.$$

$$\underline{H} = \frac{\underline{A}}{\underline{E}} = \frac{-\alpha jRC\omega}{1 + 3jRC\omega - (\alpha + 1)R^2 C^2 \omega^2}$$

$$\underline{H} = \frac{\underline{A}}{\underline{E}} = -\frac{\alpha}{3} \times \frac{jRC\omega}{\frac{1}{3} + jRC\omega - (\frac{\alpha+1}{3})R^2 C^2 \omega^2}$$

$$\underline{H} = -\frac{\alpha}{3} \times \frac{1}{1 + \frac{1}{3jRC\omega} + \left(\frac{\alpha+1}{3}\right)jRC\omega}$$

$$\underline{H} = -\frac{\alpha}{3} \times \frac{1}{1 + \frac{1}{3j\sqrt{\alpha+1}} \left(\sqrt{\alpha+1} R\omega - \frac{1}{\sqrt{\alpha+1} R\omega}\right)}$$

on identifie donc dans la forme canonique :

$$H_0 = -\frac{\alpha}{3} \quad Q = \frac{\sqrt{\alpha+1}}{3} \quad \omega_0 = \frac{1}{\sqrt{\alpha+1} R\omega}$$

$$\text{Comme } \underline{H} = \frac{\underline{A}}{\underline{E}} = \frac{H_0}{1 + jQ\left(\frac{\omega}{\omega_0} - \frac{\omega_0}{\omega}\right)}$$

$$\underline{s} + j\frac{Q\omega_0}{\omega_0} \underline{s} + \frac{Q\omega_0}{j\omega} \underline{s} = H_0 \underline{e}$$

alors : $j\omega \underline{s} + (j\omega)(j\omega) \frac{Q}{\omega_0} \underline{s} + Q\omega_0 \underline{s} = H_0 j\omega \underline{e}$
($\omega \neq 0$)

donne en équa différentielle du temps :

$$\left[\frac{ds}{dt} + \frac{Q}{\omega_0} \frac{d^2s}{dt^2} + Q\omega_0 s = H_0 \frac{de}{dt} \right]$$

soit avec les valeurs fonction de α , R et C :

$$\left[\frac{ds}{dt} + \frac{(\alpha+1)RC}{3} \frac{d^2s}{dt^2} + \frac{1}{3RC} s = -\frac{\alpha}{3} \frac{de}{dt} \right]$$

3°) $\boxed{\alpha=1} \Rightarrow H_0 = -\frac{1}{3} \quad Q = \frac{\sqrt{2}}{3} \quad \omega_0 = \frac{1}{\sqrt{2} R C}$

⊕ pour $n = \frac{\omega}{\omega_0} \rightarrow \infty$

$$\underline{H} \rightarrow \frac{H_0}{-jQ \frac{\omega_0}{\omega}} = \frac{jH_0 \omega}{Q \omega_0}$$

$$\text{soit } G(\omega) \equiv |\underline{H}(\omega)| \Rightarrow \frac{|H_0|}{Q} \alpha$$

et gđb $\rightarrow \log \left(\frac{|H_0|}{Q} \alpha \right) + \log n$.

\hookrightarrow Phase de $\left(-\frac{\pi}{2}\right)$ (ou $\frac{3\pi}{2}$)
 $(-j) = e^{-j\frac{\pi}{2}}$

ordonnée de l'asymptote
(en $n=1$)
avec $\frac{|H_0|}{Q} = \frac{1}{\sqrt{2}}$ et donc $\log \left(\frac{|H_0|}{Q} \right) = -3 \text{ dB}$.

⊕ pour $n=1$

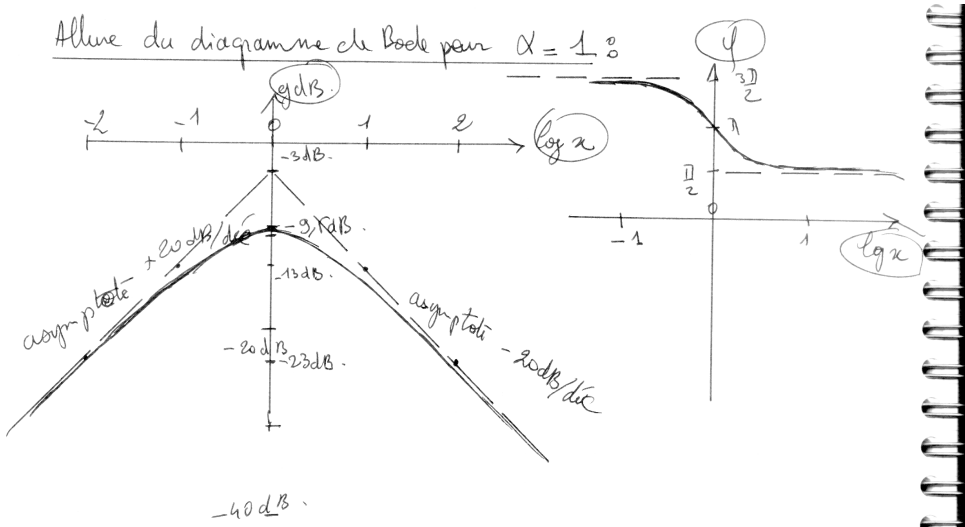
$$\underline{H} = H_0 \quad g\text{dB}(n=1) = \log \left(\frac{|H_0|}{Q} \right) = -9,5 \text{ dB}.$$

$$\text{et } \varphi(n=1) = \pi \quad (\text{H}_0 \text{ négatif}).$$

⊕ pour $n \rightarrow \infty$

$$\underline{H} \rightarrow \frac{H_0}{jQ \frac{\omega_0}{\omega}} = \frac{H_0}{Q} \times \frac{1}{jn} \Rightarrow -3 \text{ dB pour l'ordonnée de l'asymptote en } n=1.$$

Allure du diagramme de Bode pour $\alpha = 1/2$



$$|H| = 10 \quad H_0 = -\frac{10}{3} \approx -3,33 \quad Q = \frac{\sqrt{11}}{3} \approx 1,105$$

$$\text{et } \omega_0(H=10) = \frac{1}{\sqrt{11}RC}$$

→ équations des asymptotes :

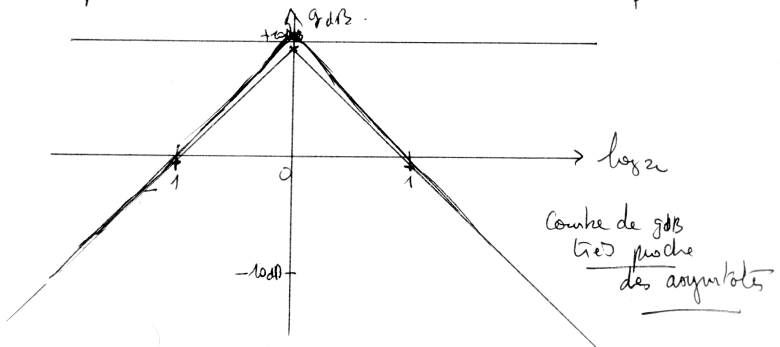
$$\text{BF} \rightarrow 2\log \frac{|H_0|}{Q} + 20\log \omega = 2\log 3 + 20\log \omega$$

$$+ 9,5 \text{ dB}$$

$$\text{HF} \rightarrow +9,5 \text{ dB} - 20\log \omega$$

$$\rightarrow \text{valeur en } x=1 \text{ : } g_{\text{dB}}(x=1) = 20\log |H_0| = 10,4 \text{ dB}$$

→ Phase (idem pour les asymptotes de phase du cas $\alpha=1$)
seule la pente de variation autour de $x=1$ est + abrupt.



4°) On a montré qu'en \times BF la fonction de transfert devient $j\omega \frac{H_0}{Q\omega_0}$ ce qui correspond à 1 dérivation (+ inversion) du signal.

On obtient 1 signal qui serait caréné (aux HF près). C'est logique car les premières harmoniques et le fondamental sont bien dérivées. L'ondulation la plus présente est la pulsation $10\omega = \omega_0$ (ration de bande passante) : il suffit de compter les pseudo périodes de ces oscillations sur 1 période T du signal (ou devant en recenser 10).

La réponse en HF a une forme "vaguement" sinusoidale mais il s'agit en fait du signal triangulaire intégré soit une succession de branches de parabole.

Ette fois, la fonction de transfert correspond bien à l'opérateur d'intégration pour toutes les composantes ($\omega, 3\omega, 5\omega, 7\omega, 9\omega, 11\omega, 13\omega, 15\omega, 17\omega \dots$)

a)

$$v_e(t) = c_0 + \sum_{p=0}^{\infty} \frac{4V_0}{\pi(2p+1)} \frac{\sin((2p+1)\frac{2\pi}{T}t)}{(2p+1)}$$

DSF : $c_0 = 0$ $b_n = 0$ $\begin{cases} a_{2p} = 0 \\ a_{2p+1} = \frac{4V_0}{\pi(2p+1)} \end{cases}$

b) signal décalé de $-\frac{T}{4}$

correspondant au changement de variable : $t' = t - \frac{T}{4}$

$$v_e(t') = \sum_{p=0}^{\infty} \frac{4V_0}{\pi(2p+1)} \sin \left((2p+1) \frac{2\pi}{T} (t' + \frac{T}{4}) \right)$$

$$v_e(t') = \sum_{p=0}^{\infty} \frac{4V_0}{\pi(2p+1)} \sin \left((2p+1) \frac{2\pi}{T} t' + (2p+1) \frac{\pi}{2} \right)$$

les phases sont donc dans l'ordre $(+\frac{\pi}{2}, -\frac{\pi}{2}, +\frac{\pi}{2}, -\frac{\pi}{2}, \dots)$

Présentez cette fonction sous la forme de min ($\frac{x(t) + \overline{x}}{2}$)
est alors maladroite puisque l'on obtient des constantes
avec des phases (0, π, 0, π, 0, π) (cf diapositive TP1)

c) L'harmonique ③ n'est pas la troisième harmonique
présente ! Il s'agit bien de $(2p+1)=3$
(fondamental $(2p+1=1 \Leftrightarrow p=0)$)

Pour que f_0 corresponde à l'harmonique 3, on a :

$$f_0 = 3f = \frac{3}{T} \quad (f = \frac{f_0}{3})$$

amplitudes à l'entrée

$$\frac{f_0}{3} = \frac{4x0,15}{\pi} = \frac{8}{\pi} \approx 0,64 \text{ V}$$

$$0 \text{ V}$$

$$\frac{3f_0}{3} = \frac{2}{\pi} \times \frac{1}{3} \approx 0,21 \text{ V}$$

$$0 \text{ V}$$

$$\frac{5f_0}{3} = \frac{2}{\pi} \times \frac{1}{5} \approx 0,13 \text{ V}$$

amplitudes à la sortie

$$\frac{2}{\pi} \times G\left(\frac{f_0}{3}\right) \approx 0,685 \text{ V}$$

$$0 \text{ V}$$

$$0,21 \times 3,33 = 0,70 \text{ V}$$

$$0 \text{ V}$$

$$0,13 \times 1,07 = 0,14 \text{ V}$$

Conclusion : le signal contient bien + de la moitié
de fréquence f_0 (harmonique 3).
(Impossible de deviner l'allure temporelle)

EXERCICE ⑤ : Génération de signaux de nature et forme ≠ .

1°) a) Manifestement un oscillateur astable puisque la tension varie "très rapidement" de -14 V à +14 V (et inversement) et cette variation correspond au ± 14 V donné pour le "Maximum Output Voltage Swing" dans les caractéristiques du LT1001.

Un oscillateur est astable si il bascule périodiquement entre deux états qui seraient stables (saturation ici) si un phénomène de relaxation de temps caractéristique T ne provoquait pas systématiquement un basculement dans l'autre état. Aucun des deux états n'est alors STABLE DANS CE CIRCUIT d'où le nom : ASTABLE.

b) on reconnaît les charges-décharges aux bornes d'un condensateur qui est soumis à des échelons +Vsat, -Vsat dans le circuit

RC série : le nœud est donc entre C_1 et R_1 .

c) Déjà dit. On l'a évalué ci environ $-14V$ et $+14V$

d) On peut évaluer C_1 avec :

① le temps de relaxation du circuit $R_1 C_1$

$$\textcircled{2} \rightarrow \text{la période } T = 2R_1 C_1 \ln\left(\frac{R_2 + 2R_3}{R_2}\right)$$

② mesure de $R_1 C_1$ sur la courbe de charge du second graphe (Jeu ④).

→ méthode de la tangente très imprecise.

$$\rightarrow \text{valeur de départ } V_{b\ominus} = \frac{R_2}{R_2 + R_3} V_\ominus = -\frac{20}{30} -14V = -9,33V.$$

→ valeur asymptotique : $14V$.

$$\rightarrow \Delta V_{TOT} = 14 - (-9,33) = 23,33V.$$

$$\rightarrow \text{montée de } 23,33 \left(1 - \frac{1}{e}\right) \simeq 0,63 \times 23,33 = 14,75V$$

$$\rightarrow \text{au 1er passage à } -9V + 14,75V = 5,75V \\ \text{à l'instant } t_1 = [52,5 \pm 1] \text{ ms.}$$

$$\text{avec } t_1 = [40,5 \pm 0,5] \text{ ms.}$$

$$\text{donc (au pire)} : \tau = t_2 - t_1 = 12,5 \text{ ms} \pm 1,5 \text{ ms}$$

En négligeant l'erreur sur R_1 :

$$\frac{\Delta \tau}{\tau} = \frac{\Delta C_1}{C_1}$$

$$\text{donc : } C_1 = \frac{\tau}{R_1} = \frac{12,5 \cdot 10^{-3}}{10 \cdot 10^3} = 1,25 \cdot 10^{-6} F \\ \simeq 1,25 \mu F.$$

$$\text{et } \frac{\Delta \tau}{\tau} = \frac{1,5}{12,5} = 12\% = \frac{\Delta C_1}{C_1}$$

$$\Rightarrow \Delta C_1 \simeq 0,15 \mu F$$

$$\Rightarrow [C_1 = [1,25 \pm 0,15] \mu F]$$

③ évaluation de la période : $4T = [138 \pm 2] \text{ ms.}$

$$\Rightarrow T = [34,5 \pm 0,5] \text{ ms.}$$

$$\text{estimation de } C_1 \Rightarrow C_1 = \frac{T}{2R_1 \ln\left(\frac{R_2 + 2R_3}{R_2}\right)} = 1,07 \cdot 10^{-6} F \\ \simeq 1,07 \mu F$$

évaluation de l'incertitude en négligeant celle sur les résistances.

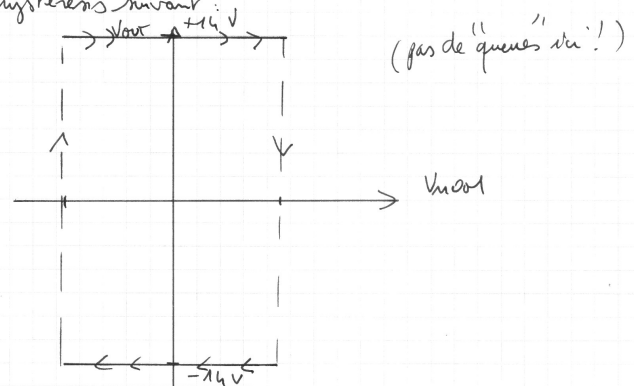
$$\Rightarrow \frac{\Delta T}{T} = \frac{\Delta C_1}{C_1} \Rightarrow \Delta C_1 = C_1 \times \frac{0,5}{34,5} = 0,016 \mu F$$

$$\Rightarrow C_1 = [1,07 \pm 0,02] \mu F.$$

les deux intervalles ont 1 intersection nulle !

On pourra estimer C_1 à $1,1 \mu F$.

e) En observant $V(mot)$ en X et V_{out} en Y, on relevera le cycle d'hystérésis suivant



Comparaison mon inverseur puisque sens de parcours horaire

le transitoire dure environ 1 ms (fluctuations de comportement avant d'arriver à l'état permanent périodique).

$$a) V_{out,pp} = 2 \times 9,3 = [18,6 \pm 1] V$$

$$b) 2T' = 1,16 - 0,82 \Rightarrow T' = [0,17 \pm 0,03] \text{ ms} (\simeq 170 \text{ ms})$$

↑ sur les 2 dernières !

$$T'_{th} = 2 \times 10 \cdot 10^3 \times 10^{-2} \times 10^{-6} \ln\left(\frac{12}{10}\right) \simeq 3,65 \cdot 10^{-5}$$

$$T'_{th} \simeq [36 \pm 1] \mu s$$

Aucune commune mesure entre T' et T'_{th} !

Interprétation : la théorie correspond à une sortie basculant de $-14V$ à $+14V$! et non à ce qui se passe réellement !

→ insuffisance de SLOW-RATE (partie maximale du signal de sortie atteinte !)

c) estimation des pentes. (ordre de grandeur suffisant).
Montée (et descente) de $\approx 19V$ en $80\mu s$ environ.

$$\text{soit } \frac{19}{80} \approx 0,24 \frac{V}{\mu s}$$

\Rightarrow Valeur typique du SLOW RATE
dans les caractéristiques (datasheet)

$$\Rightarrow 0,25 \frac{V}{\mu s}$$

(tout à fait cohérent.).

d) Du coup comme la pente est fixée par l'ALI, il faut diminuer les valeurs de basculement donc le rapport entre R_2 et R_3 . Mais naturellement l'amplitude du signal obtenu est liée.

Un ALI avec 1 meilleur slew-rate comme 1 TL081 ou 1 TL071 a 1 slew-rate d'environ $13 \frac{V}{\mu s}$.

(40 à 50 fois meilleur que celui-ci !)

On gagnera 1 peu en fréquence maximale.

